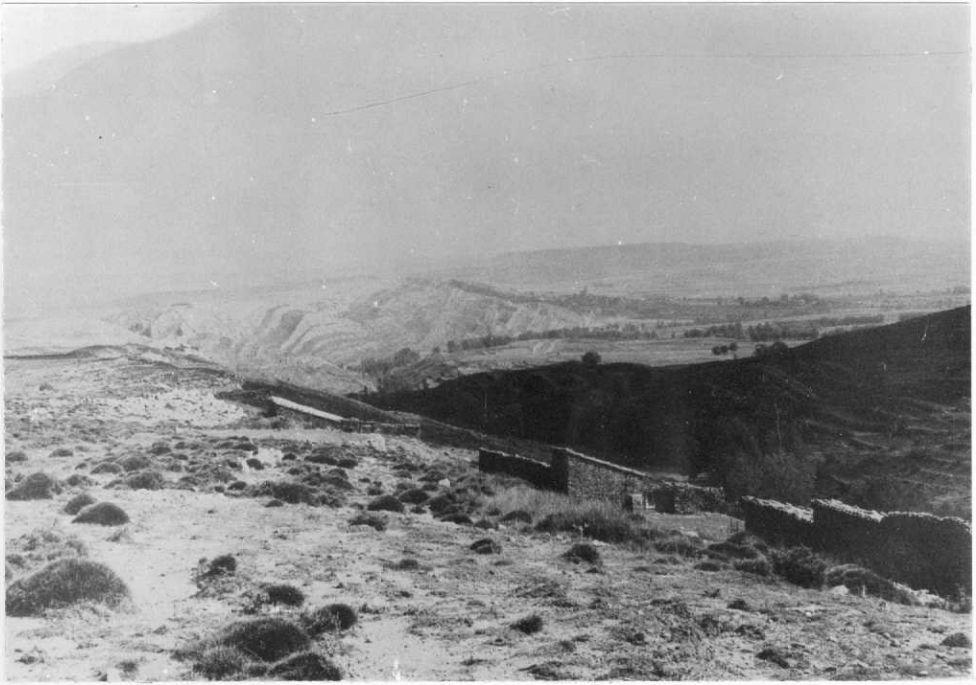
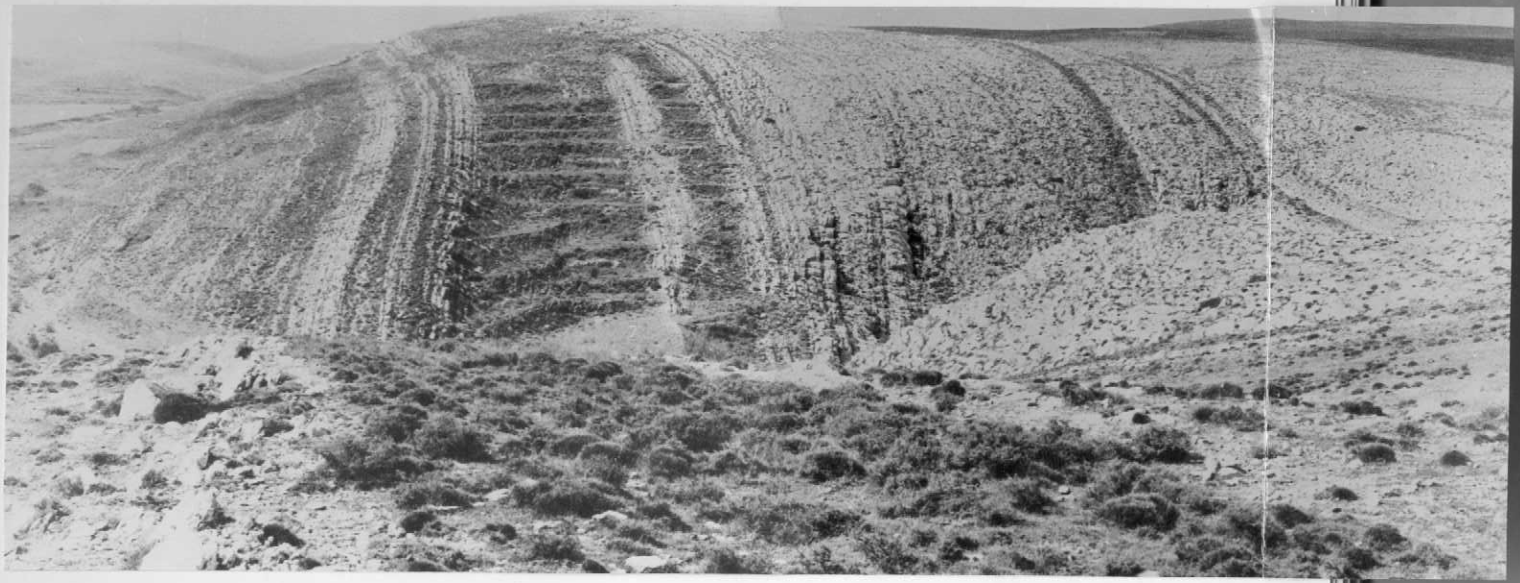
20543



28-21-AD-FG-400 - Kimmeridgiense superior (J_{33}^{2-3}) calizas masivas con pátina blanca) y Portlandiense (J_{32-33}^{3-0}) calcáreo detrítico a la altura de la Fuente del Hontanar.



28-21-AD-FG-401 - El Jurásico Superior vertical (Kimmeridgiense superior y Portlandiense) de el Cerro. Al fondo, el pueblo de Aguilar de Alfambra y a la derecha, la depresión wealdiense de Ababuj-Aguilar.



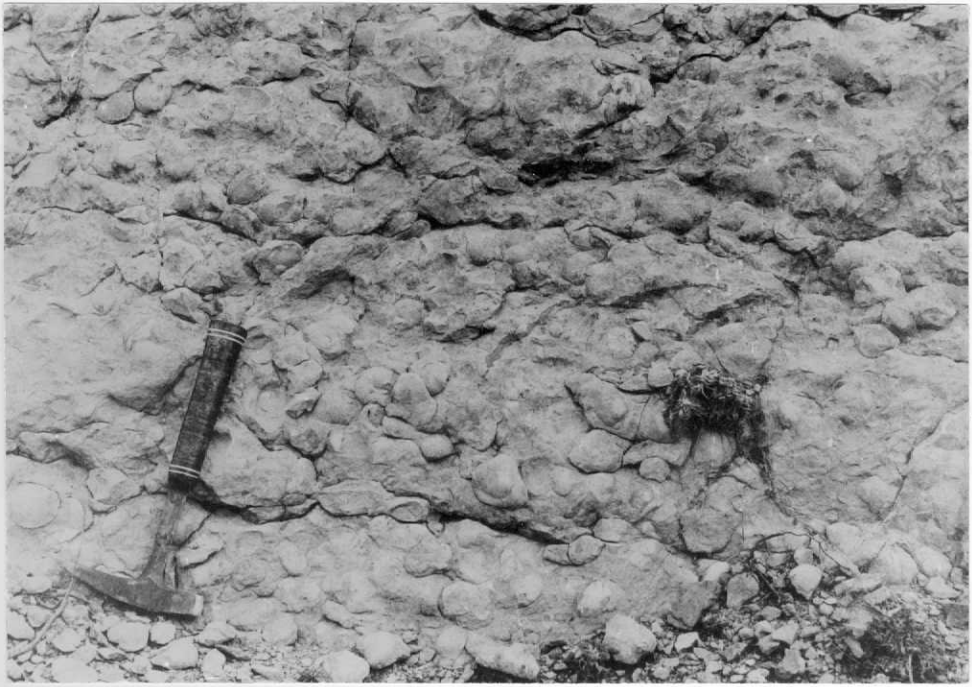
28-21-AD-FG-402 - El Jurásico superior subvertical de la Rambla Catalana - (parte alta): Kimmeridgiense superior (J_{32}^{2-3}) calcáreo (a la derecha) y Portlandiense (J_{32-33}^{3-0}) calcáreo detrítico (a la izquierda).



28-21-AD-FG-403 - El Jurásico superior subvertical de el Cerro. A la izquierda, soportando la Ermita de la Virgen de la Peña, la barra calcárea del Kimmeridgiense superior (J_{32}^{2-3}). Hacia la derecha, los dos conjuntos del Portlandiense (J_{32-33}^{3-0}) calcáreo detrítico. A la derecha, el camino que conduce a Aguilar - (al fondo) se encuentra sobre la formación margo-calcárea oscura del Hauteriviense-Barremiense basal ($C_{w\ 13-14}^{c}$).



28-21-AD-FG-404 - La muela de Ababuj (Umbria): en primer plano el Portlandiense (J^{3-0}_{32-33}); el fondo de la cubeta y las pendientes están constituidas por las arcillas rojas y areniscas blancas del Wealdiense ($C_{w\ 14}$) (Barremiense); al techo los conglomerados groseros del Mioceno. (T^{A-B}_{c33-1})



28-21-AD-FG-405 - Banco de calizas con Unionidos en el Hauteriviense Barremiense basal ($C^{c}_{w\ 13-14}$) en las proximidades de Ababuj.



28-21-AD-FG-406 - Panorámica sobre los relieves del Cretácico inferior y la Muela terciaria entre la región de Jorcas al Sur y Camarillas al Norte: flanco Oeste del sinclinal Jorcas-Camarillas visto desde las colinas jurásicas al NE de Aguilar.



28-21-AD-FG-407 - El Cretácico superior subvertical de la Loma de la Solana.



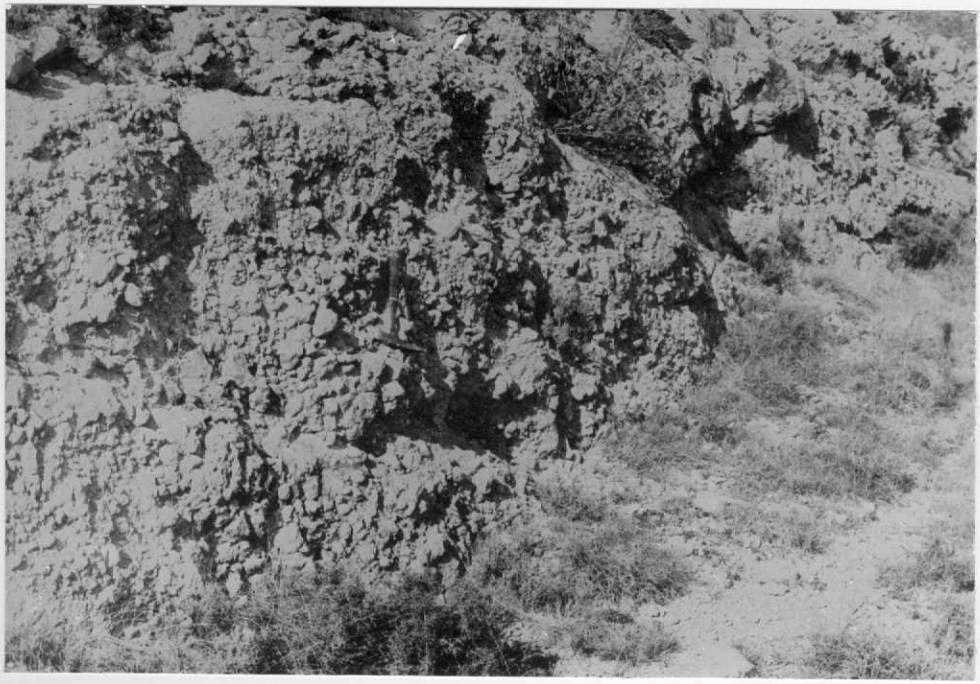
28-21-AD-FG-408 - Repliegue en las capas subverticales del Cenomaniense-Turoniense de la Loma de la Solana.



28-21-AD-FG-409 - El Aptiense vertical y de espesor reducido de la región - Nor-Occidental. A la derecha, el Jurásico de El Pantano , a la izquierda, el valle albiense y el Cenomaniense de la Loma de la Solana.



28-21-AD-FG-410 - Contacto por falla entre las calizas lumaquélicas y las arcillas del Barremiense superior ($C_c^{0-1}_{14-15}$) (a la izquierda) y las calizas con Rudistos y margo-calizas del Gargasiense (a la derecha), a lo largo de la carretera Camarillas-Aliaga.



28-21-AD-FG-411 - Brecha sedimentaria calcárea, de color oscuro, en la base del Hauteriviense-Barremiense basal ($C^{c}_{w\ 13-14}$) de la terminación periclinal norte del anticlinal de Aliaga-Miravete.



28-21-AD-FG-412 - La terminación periclinal Norte del anticlinal de Miravete, en las proximidades de Aliaga. De primero a último plano: - el Portlandiense y el Hauteriviense basal, el Valle Wealdiense, las dos barras calcáreas del Aptiense y, más allá de la depresión Albiense, las calizas y dolomias del Cretácico superior.



28-21-AD-FG-413 - El Jurásico dolomítico en el núcleo del anticlinal de Miravete, al Norte del pueblo.



28-21-AD-FG-414 - El Gargiense inferior (C^{2}_{c15}) (calizas margosas con Rudistos) del sinclinal Jorcas-Camarillas (Barranco de las Corralizas).





28-21-AD-FG-415 - Corte natural por el río Alfambra del anticlinal Jurásico de Canto de la Hoz-Las Calderetas: en el núcleo, cerca del río, el Dogger dolomítico, coronado por las calizas estratificadas del Kimmeridgiense inferior (J^{1}_{32}); al techo formando cornisa, las calizas masivas del Kimmeridgiense superior (J^{2-3}_{32}). El conjunto está afectado de varias fallas direccionales.



28-21-AD-FG-416 - Los materiales calcáreo-detríticos del Portlandiense (J^{3-0}_{32-33}) entre el Jurásico del macizo Canto de la Hoz-Las Calderetas en primer plano y el Cretácico superior de la Loma de la Solana al fondo.



28-21-AD-FG-417 - La serie Jurásica en el anticlinal de el Pantano, a la altura del barranco de la Masia de Lombardía: de izquierda a derecha, el Lias primeramente dolomítico después calcáreo y formando charnela, el Toarciense (J_{14}) margo-calcáreo, el Dogger calcáreo-dolomítico, el Kimmeridgiense primeramente en pequeños estratos de calizas margosas (talud), siguen - gruesos bancos de calizas pisolíticas (cornisa). Al techo, la superficie de erosión finimiocena.



28-21-AD-FG-418 - Kimmeridgiense superior, Portlandiense, Hauteriviense-Barremiense basal (a la altura de los rediles) y Wealdiense de la cubeta de Galve (el pueblo es visible al fondo a la izquierda).



28-21-AD-FG-419 - El pasillo triásico (Keuper dispírico) entre el macizo jurásico de el Pantano, a la izquierda, y, a la derecha, los eslabones aptienses seguidos del alineamiento de Cretácico superior de la Loma de la Solana.



28-21-AD-FG-420 - El anticlinal jurásico de Ballesteros: en el núcleo, el Lias; al techo, la barra del Kimmeridgiense superior - (J^{2-3}_{32}) entre los dos, la barra del Dogger separando el talud toarciense del talud del Kimmeridgiense inferior.



28-21-AD-FG-421 - El flanco occidental del anticlinal de Ballesteros: el Toarciense (J_{14}) margo-calcáreo, el Dogger (J_{2-31}) calcáreo-dolomítico (barra), las calizas arcillosas del Kimmeridgiense inferior (J^{1}_{31}) (talud), las calizas en gruesos bancos del Kimmeridgiense superior (J^{2-3}_{32}). Al fondo, mas allá del Portlandiense (J^{3-0}_{32-33}), la depresión wealdiense de Galve.



28-21-AD-FG-422 - La formación calcáreo detrítica del Portlandiense (J^{3-0}_{32-33}) del Cerro. Al fondo, más allá del río Alfambra, el pueblo de Aguilar.



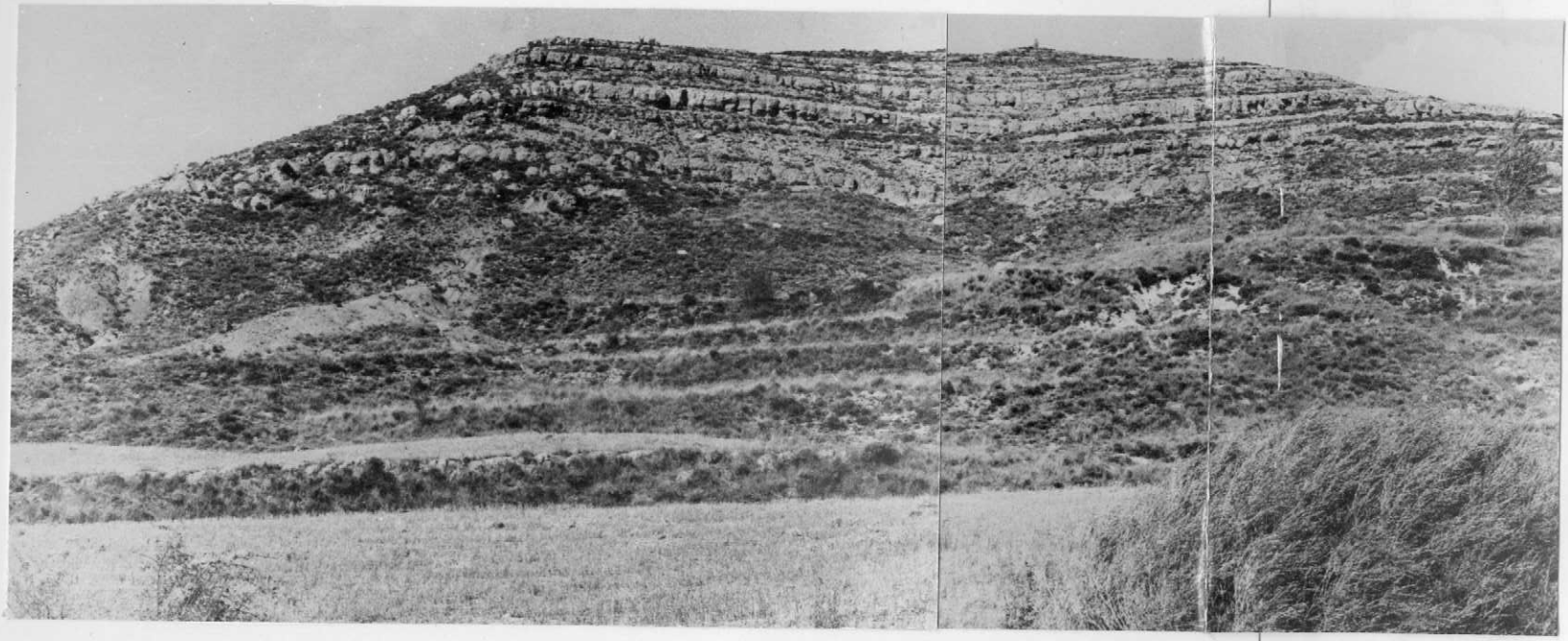
28-21-AD-FG-423 - Las margas azules fosilíferas de la base del Gargasiense superior ($C^{2-3}_{m\ 15}$), reposando sobre las calizas margosas - con Toucasia, entre Allepuz y Villarroya.



28-21-AD-FG-424 - El Aptiense en Villarroya de los Pinares (carretera de Miravete). De izquierda a derecha, el Beduliense inferior - calcáreo ($C^{1}_{c\ 15}$), el Beduliense superior esencialmente margoso ($C^{1}_{m\ 15}$), el Gargasiense inferior calcáreo ($C^{2}_{c\ 15}$) (barra con Rudistos), el Gargasiense superior ($C^{2-3}_{m\ 15}$) calcáreo-detrítico, gris y rojizo.



28-21-AD-FG-425 - El Cretácico inferior de la parte sur-oriental del anticlinal de Miravete: valle wealdiense, talud barremiense (margo-calizas verdosas) y barra calcárea del Bedouliense inferior (C^{1}_{c15}).



28-21-AD-FG-426 - La formación del Hauteriviense-Barremiense basal (C_w^c13-14) al Sur-Este de Miravete (Casa Patacas): en la base, arci-- llas rojizas con yeso, al techo, calizas y margas oscuras con Charophitas y Ostracodos.



28-21-AD-FG-427 - El Barremiense superior (C^{0-1}_{c14-15}) (calizas lumaquélicas, arcillas y margas) y la base del Beduliense (C^{1}_{c15}) (margo-calizas y calizas con Orbitolinas) al Oeste de Miravete(Barranco de la Hoya Larga).



28-21-AD-FG-428 - El Beduliense superior (C^1_{m15}) (margas y calizas) y la base del Gargasiense (C^2_{c15}) (Calizas con Rudistos) al Oeste de Miravete: flanco este del sinclinal Jorcas-Camarillas.



28-21-AD-FG-429 - Cabalgamiento de los terrenos cenomanienses calcáreo-dolomíticos sobre los conglomerados terciarios en el Barranco de Pelugrima (Morrita).



28-21-AD-FG-430 - La alineación cretácica Morrita-La Umbría, con buzamientos verticales o inversos. En primer término, las calizas y dolomias del Cenomaniense (C^{3-0}_{16-21}) (Morrita); a la derecha, las margas y calizas del Gargasiense superior (C^{2-3}_{m15}).



28-21-AD-FG-431 - El frente de cabalgamiento del Cretácico superior sobre los conglomerados terciarios en la Loma de la Solana. Una bóveda anticlinal es visible a la derecha en el seno de los terrenos terciarios, seguido, en el centro de la foto, de un repliegue sinclinal, cabalgado por las dolomias del Turonien se.



28-21-AD-FG-432 - Repliegue agudo en los estratos verticales del Cenomaniense (C^{3-0}_{16-21}) de la Loma de la Solana.



28-21-AD-FG-433 - La base del Aptiense al Sur de Jorcas: encima de las Capas rojas superiores, las areniscas, margo-calizas y calizas - con Orbitolinas del Beduliense inferior (C^1_{c15}).



28-21-AD-FG-434 - Vista sobre el anticlinal de Miravete, en la región de Villarroya de los Pinares (al fondo). La depresión en primer plano corresponde a las formaciones arcillo-arenosas del Aptiense terminal y del Albiense (C_{16}^{1-2}) Utrillas.



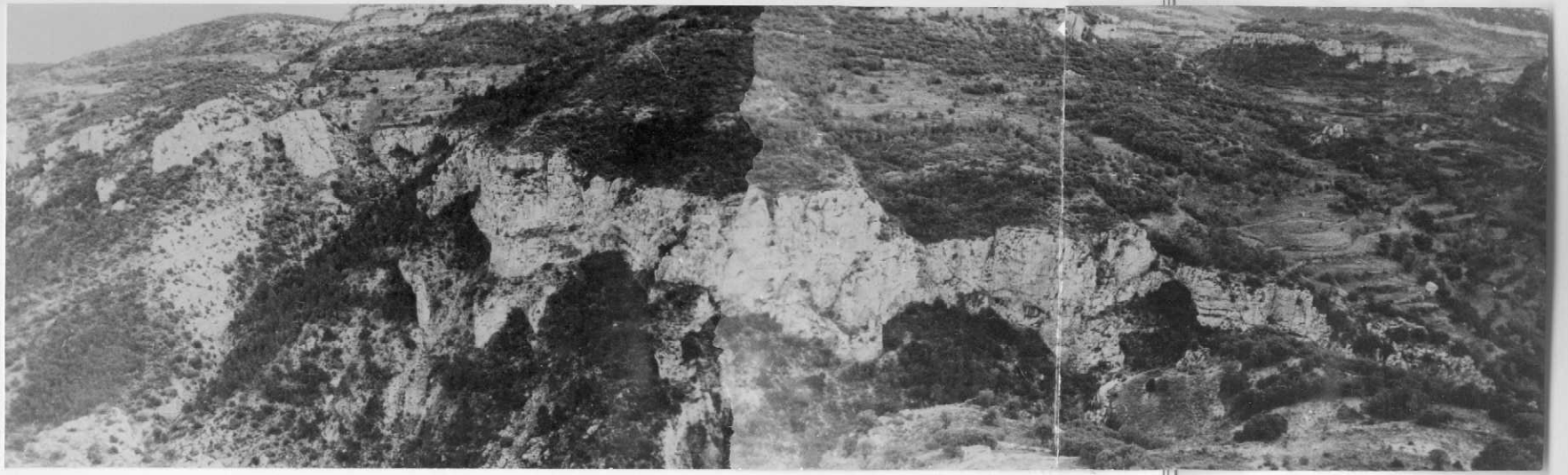
28-21-AD-FG-435 - El Aptiense, el Albiense y el Cenomaniense en las proximidades de la Cañada de Benatanduz. Numerosas fallas son visibles en los bancos calcáreos del Aptiense.



28-21-AD-FG-436 - El flanco Este, vertical, del anticlinal de Cañada, a la altura del Masico Nuevo. El pasillo wealdiense está bien visible entre el Jurásico superior, a la izquierda, y el cretácico a la derecha.



28-21-AD-FG-437 - El Jurásico superior, el Wealdiense y el Aptiense en las proximidades de Villarluengo. Al fondo las cornisas cenomanense-turonienses.

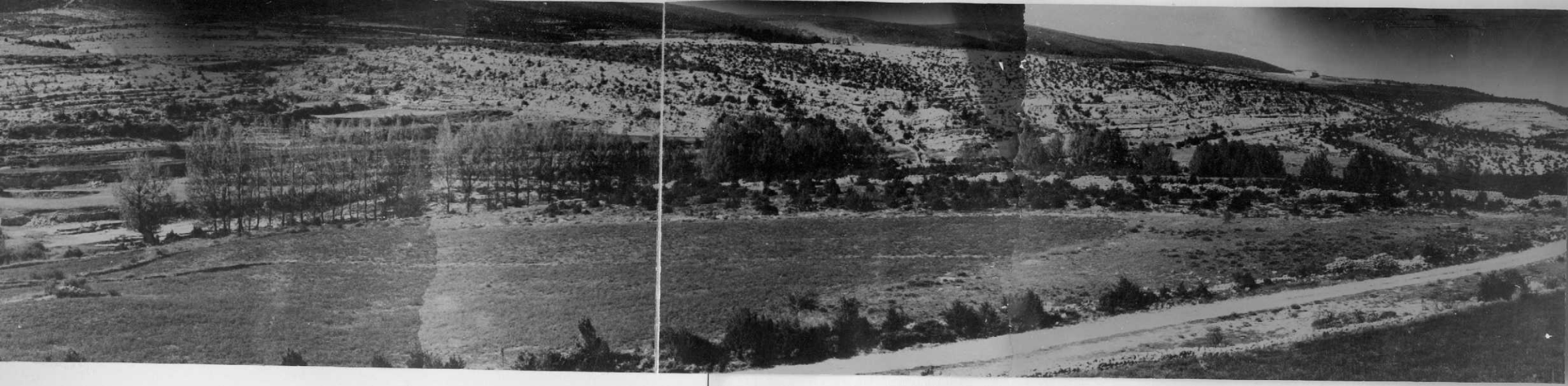


28-21-AD-FG-438 - Entalladura del río Cañada en la extremidad meridional del domo jurásico de la Fábrica, al Norte de Villarluengo. Son visibles en la foto, de izquierda a derecha y afectadas de numerosas fallas, las calizas del Dogger (J_{2-31}); las margas y calizas margosas del Kimmeridgiense inferior (J^{1}_{32}), la barra calcárea del Kimmeridgiense superior (J^{2-3}_{32}), el talud Portlandiense y wealdiense, las barras del Aptiense que sostienen, en el extremo derecho, el pueblo de Villarluengo. Al fondo, el talud albiense y los escarpes cenomaniense--turonienses.





28-21-AD-FG-439-440 - Calizas margosas con Radiolítidos del Senoniense (Santoniense (C_{24-26})) de Fortanete.



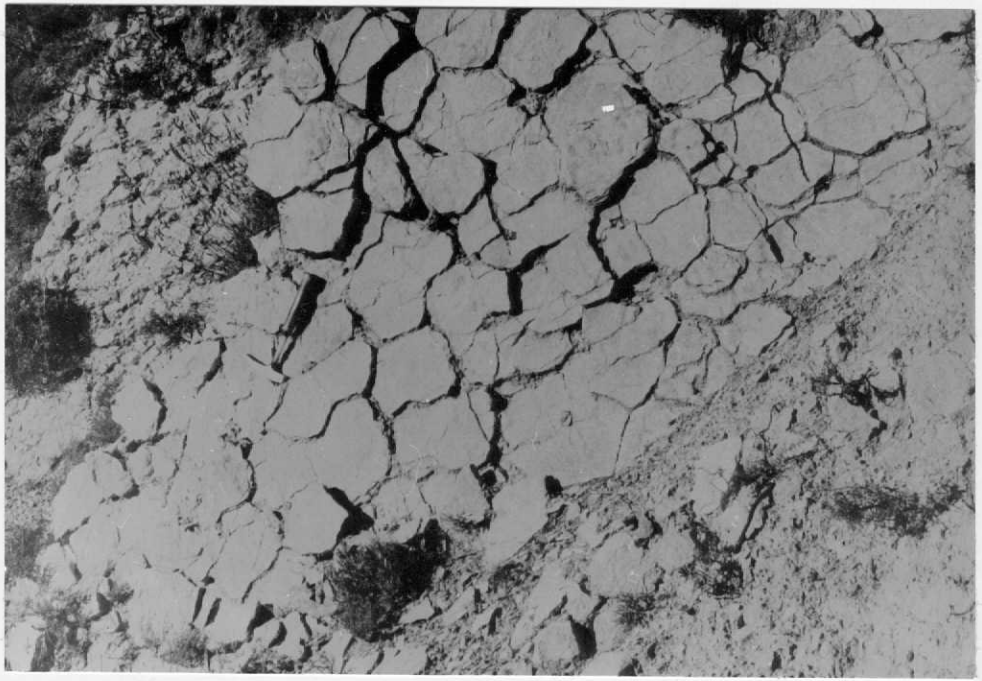
- La formación Santoniense (C_{24-26}) (margas y calizas margosas blanquecinas) en el núcleo del sinclinal de Fortanete.



28-21-AD-FG-442 - Un aspecto de los horizontes calcáreo-margosos blancos - del Senoniense (Santoniense del sinclinal de Fortanete).



28-21-AD-FG-443 - La terminación periclinal Sur del anticlinal de Miravete, a nivel de las calizas con Rudistos del Gargasiense inferior (C^{2}_{c15}). Los campos cultivados corresponden a la potente serie detrítica del Aptiense terminal y del Albiense-Utrillas. En primer plano, las calizas cenomanienses - (C^{3-0}_{16-21}).



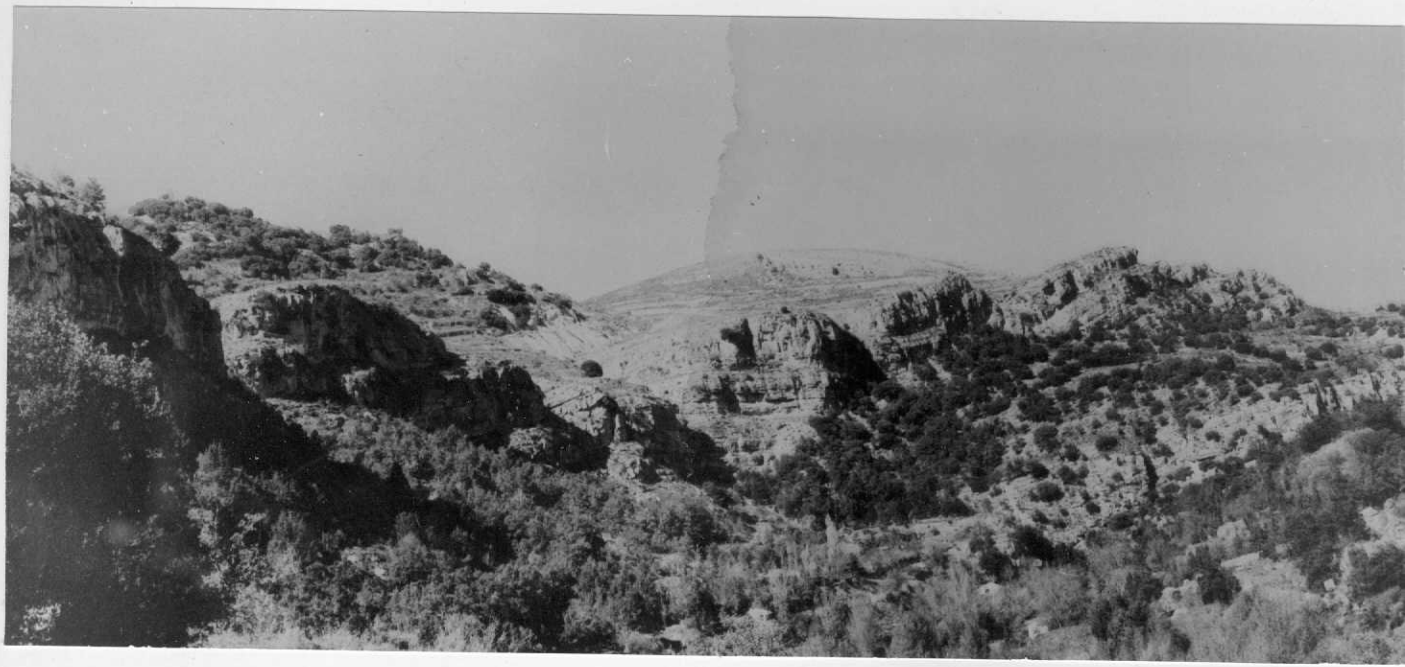
28-21-AD-FG-444 - Figuras de desecación en las calizas portlandisnses (J^{3-0}_{32-33}) subverticales del flanco oriental del anticlinal de Canada.



1-AD-FG-445 - El Cretácico de Villarluengo: gracias a la garganta del río Cañada y a pesar de una cobertera de derrubios importante, los materiales detríticos del Wealdiense son visibles (a la derecha) bajo las barras calcáreas del Aptiense (Calzada, - Villarluengo). A la izquierda, encima del pueblo, las arenas albienses y las calizas cenomanienses de Monte Santo.



28-21-AD-FG-446 - El domo jurásico de la Fábrica al Norte de Villarluengo (orilla izquierda): los niveles más antiguos visibles - gracias a la garganta del río Cañada pertenecen al Lías, los niveles más altos al Kimmeridgiense superior-Port-- landiense.



28-21-AD-FG-447 - Las calizas aptienses, hacia abajo de Villarluengo, soportando directamente las arcillas y arenas del Albiense - (C_{16}^{1-2}) Utrillas.



28-21-AD-FG-448 - Los escarpes aptienses al Este de Villarluengo (Calzada). Al fondo, el talud albiense y la cornisa conomaniense-turoniense.



28-21-AD-FG-449 - Las tres barras carbonatadas (calizas y dolomias) del Cretácico superior en la garganta del río Cañada, en lo alto de Villarluengo.



28-21-AD-FG-450 - La depresión wealdiense y el Jurásico dolomítico vertical en el núcleo del anticlinal de Miravete, al Norte del pueblo.